

کانی‌شناسی و ژئوشیمی رسوبات بادی پیرامون شهر کرمان

 حبیبه عطابور^{*}

استادیار، بخش مهندسی معدن، دانشکده فنی و مهندسی، دانشگاه شهید باهنر، کرمان، ایران

 تاریخ پذیرش: ۱۳۹۴/۱۰/۲۳
 تاریخ دریافت: ۱۳۹۵/۰۳/۱۹

چکیده

رسوبات بادی کواترنر در بخش جنوبی و دامنه‌های ارتفاعات شمالی و خاوری شهر کرمان گسترش دارند. مهم‌ترین ساختار رسوبات، لایه‌بندی متقطع و ریل مارک است. قطر رسوبات بادی از ۰/۰۶ تا ۲ میلی‌متر متغیر است و میان‌لایه‌هایی از رسوبات رودخانه‌ای (آبرفتی) درشت‌دانه (گراول) در میان آنها دیده می‌شود. سنگ‌شناسی و کانی‌شناسی رسوبات بادی نشانگر حضور قطعات سنگی (۳۰ درصد سنگ‌های رسوبی کربناتی، ۲۵ درصد آزین و ۵ درصد دگر گونی) و کانی‌های سیلیکاتی (۱۵ درصد) و غیرسیلیکاتی (۲۵ درصد) است. کانی‌های رسوبات شامل کلسیت (۱۰ درصد)، کوارتز و چرت (۱۲ درصد)، فلدسپارهای قلایی و پلاژیوکلاز (۵ درصد)، اکسیدهای آهن (۵ درصد)، کلینوپیروکسن (۲ درصد)، آمفیبول (۱ درصد) و ژپس (۵ درصد) است. محاسبه کانی‌های نورماتیو در رسوبات بادی ۳۰ درصد کلسیت، ۱۵/۴ درصد کوارتز، ۱۲/۵ درصد ارتوز، ۱۰ درصد آلبیت، ۲۵ درصد آنورتیت، ۲ درصد دیوبیسید، ۱ درصد آپاتیت، ۳ درصد آپاتیت، ۳ درصد ژپس، ۳ درصد همایت، ۰/۴۵ درصد بروکیت و ۱ درصد دولومیت را نشان می‌دهد. تعزیز شیمیایی ۲۲ نمونه از رسوبات بادی با روش XRF و ICP-OES، نشان‌دهنده فراوانی اکسید کلسیم و کمبود سیلیس نسبت به رسوبات بادی مناطق دیگر دنیاست و روند یکسانی نسبت به رسوبات بادی عراق، عربستان، مکزیک و نامیبا نشان می‌دهد. نمودارهای K_2O/Al_2O_3 در برابر O_3/Al_2O_3 و Na_2O/Al_2O_3 در برابر O_3/K_2O و SiO_2/Al_2O_3 بیانگر منشأ ماسه‌های بادی از سنگ‌های آزین، رسوبی کربناتی و دگر گونی است.

کلیدواژه‌ها: رسوبات بادی، کانی‌شناسی، ژئوشیمی، شهر کرمان.

نویسنده مسئول: حبیبه عطابور

E-mail: atapour@uk.ac.ir

۱- پیش‌نوشتار

رسوبات بادی در بخش‌های مختلف محدوده شهری کرمان بهویژه در جنوب شهر گسترش دارند و در برخی از مناطق با نام منابع شن و ماسه شناخته می‌شوند. مطالعه کانی‌شناسی و ژئوشیمی رسوبات بادی و بررسی اهمیت اقتصادی آنها با در نظر گرفتن ترکیب شیمیایی می‌تواند پنجره جدیدی به روی منابع گستردۀ کویر ایران بگشاید. این نوع بررسی‌ها در مناطق مختلف دنیا صورت گرفته است (Awadh, 2012; Moufti, 2013; Kasper-Zubillaga et al., 2013; Kasper-Zubillaga and Zolezzi-Rui, 2007; Svendsen et al., 2007) در برخی از مناطق، رسوبات بادی به عنوان ذخایر اقتصادی و مواد اولیه در صنایع مختلف از جمله شیشه‌سازی و ریخته‌گری به کار گرفته شده است (Chapman, 2001). ویژگی‌های زمین‌شناسی و منشأ ماسه‌های بادی در ایران توسعه امنی و همکاران (۱۳۹۲) در شرق بابلسر، Mashhadi et al. (2007) در منطقه خارتوران (در استان‌های خراسان رضوی و سمنان)، در بافق یزد، Jahani et al. (2011) در منطقه گرمسار، Rahdari et al. (2013) در تاسوکی (جنوب خاوری سیستان) و Farahi et al. (2014) در منطقه کاشان بررسی شده است. اولین مطالعه رسوبات و خاک پیرامون محدوده شهری کرمان توسط حمزه (۱۳۸۵) صورت گرفته است. Rahman-Rad et al. (2010) بر پایه مطالعات ژئوتکنیکی، فراوانی کانی‌های رسی و اهمیت آنها از دید مهندسی و حضور نمک را در خاک کرمان گزارش کرده‌اند. Hamzeh et al. (2011) آلوگ‌های زیست‌محیطی ناشی از فعالیت‌های انسان‌زاد را در محدوده شهری کرمان مطالعه کرده‌اند. همچنین (2013) Aminzadeh Bazanjani et al. ضمن مطالعه کانی‌شناسی و ساختار میکروسکوپی رسوبات حاشیه شهر کرمان، ترکیب خاک منطقه را تا ارتفاع ۳۰ متری شامل کانی‌های رسی (ایلیت، کلریت، اسکمکیت و هالویزیت) و کلسیت دانسته است. با وجود این بررسی‌های ارزنده، مطالعات کانی‌شناسی و ژئوشیمیایی در رسوبات بادی کرمان تا کنون انجام نشده، بنابراین اولویت‌ها و اهداف این مقاله است.

۲- موقعیت جغرافیایی و ریخت‌شناسی

منطقه مورد مطالعه، حاشیه شهر کرمان، در محدوده طول جغرافیایی "۳۰°۵۲'۰۷" تا "۳۰°۵۷'۰۷" خاوری و عرض جغرافیایی "۳۰°۲۲'۰۳" تا "۳۰°۳۰'۰۷" شمالی به وسعت بیش از ۶۰ کیلومتر مربع قرار گرفته است. داده‌های ایستگاه هواشناسی منطقه (سازمان هواشناسی کشور، ۱۳۸۷) نشان می‌دهد که دوره‌های خشک هواشناسی در سال‌های ۱۳۷۸-۱۳۷۷ ثبت شده و از سال ۱۳۷۸-۱۳۷۷ به بعد نیز منطقه در آستانه یک دوره خشک قرار گرفته که تا پایان سال آبی ۸۲-۸۳ ادامه داشته است. از سال ۱۳۸۶-۱۳۸۵ مقدار بارندگی بیشتر از متوسط (۱۲ تا ۱۵ میلی‌متر) بوده است و در سال‌های ۱۳۵-۱۳۶ تا ۱۳۷-۱۳۸ و ۱۳۷-۱۳۸ دوره‌های تراسی هواشناسی به شمار می‌رود. همچنین بر پایه گزارش سازمان هواشناسی کشور (۱۳۹۴) و نقشه‌های پهنه‌بندي خشکسالی هواشناسی، شدیدترین خشکسالی‌ها در سال‌های ۱۳۷۹-۱۳۸۷ و ۱۳۸۶-۱۳۸۷ روى داده و تا سال ۱۳۹۴ در استان کرمان به ویژه در شمال کرمان ادامه داشته است.

شرایط اقلیمی بیابانی و نیمه‌بیابانی و آب و هوای کم‌باران و خشک در استان کرمان سبب شده تا بیش از ۵۶۰۰ کیلومتر مربع (معادل ۳۰ درصد) از زمین‌های آن را کویر و بیابان تشکیل دهد که یا بدون پوشش گیاهی است و یا دارای گیاهان و بوته‌هایی است که توانسته‌اند خود را با شرایط اقلیمی این منطقه تطبیق دهند. بادهای کرمان بیشتر از نوع موسمی خشک هستند و سوی وزش آنها بیشتر از جنوب باختری به شمال خاوری و خاور است و بیشتر در ماه‌های اسفند، فروردین و اردیبهشت می‌وزند (سازمان برنامه و بودجه استان کرمان، ۱۳۷۴، الف و ب).

حاشیه شهر کرمان بیشتر از رسوبات آبرفتی و دشت‌های سیلیتی-رسی (شمال) و دشت‌های ماسه‌ای (جنوب) پوشیده شده است. ارتفاعات حاشیه شهر کرمان، شامل کوه‌های صاحب‌الزمان در بخش خاوری و کوه سعیدی و رخمنون‌های آهکی در شمال و شمال خاوری است. ارتفاعات یاد شده در بخش خاوری مانند دیواری شهر را در برگرفته و مانع گسترش آن شده است. در حالی که گسترش شهر از سوی باختر و جنوب باختری رو به افزایش است. از مهم‌ترین پدیده‌های ریخت‌شناسی

کرتاسه زیرین تشکیل شده است (Huckriede et al., 1962; Rahimzadeh, 1983; Dimitrijevic, 1973 سیدامامی ۱۳۵۱)، (Ruttner et al. 1968)، (Stocklin et al. 1965) و Reyer and Mohafez (1972) پالتوسن و از دیدگاه (Huckriede et al. 1962) و آقاباتی (Dimitrijevic ۱۳۸۵) نیز سن بخش پایینی ریزدانه را کرتاسه پسین می‌دانند.

واحدهای رسوبی پلیوسن پلیوستون بیشتر از کنگلومرا، ماسه‌سنگ با جور شدگی ضعیف و مارن تشکیل شده و به طور دگرگشیب روی واحدهای کرتاسه بالایی قرار گرفته است (Huckriede et al., 1962).

(الف) دشت‌هایی که بیشتر از شن، ماسه، سیلت و به تدریج قطعات بزرگ‌تر تشکیل شده است و سبیرای کل آنها گاه به ۲۰۰ متر می‌رسد.

(ب) دق‌های سیلیتی- رسی که معمولاً از ذرات بسیار ریز سیلت و رس تشکیل شده و در برخی از بخش‌های باستان‌های پسته گسترش یافته است.

(ج) دق‌های سیلیتی- رسی نمکی که با عنوان دشت‌های کویری شناخته می‌شوند و در زمان بارندگی دریاچه‌های نمکی (پلایا؛ playas) و سپس در اثر تبخیر شدید با لایه کم‌سبرایی از رسوبات تبخیری پوشیده می‌شوند. این دشت‌های در بخش‌های از پیرامون شهر کرمان رخنمون دارند و محدوده باخترا فروندگاه کرمان و دشت‌های شمالی شهر را دربر می‌گیرند.

۳-۳ رسوبات بادی

بررسی نقشه‌های ۱/۱۰۰۰۰۰ باگین و کرمان (عزیزان و همکاران، ۱۳۷۷) و Djokovic and Dimitrijevic (1972) نشان می‌دهد که بخش وسیعی از جنوب منطقه از دشت‌های بادی تشکیل شده است. تپه‌های ماسه‌ای در خاور و شمال در مسیر جاده کرمان- کوهپایه و مجاور سنگ‌آهک‌های شمالی شهر رخنمون داشته و در بخش جنوبی از نوع برخان طولی و متقاطع است (حمزه، ۱۳۸۵). امروزه به دلیل گسترش تغذیه‌زارها در جنوب شهر و باستان‌های پسته در شمال تا حد زیادی از پیش روی رسوبات بادی کاسته شده است؛ ولی در برخی مناطق از جمله بزرگراه هفت‌باغ (جنوب شهر)، این پدیده همچنان ساختمان‌ها و مسیر بزرگراه را تهدید می‌کند.

۴- روش مطالعه

برای بررسی کانی‌شناسی و ژئوشیمی ماسه‌های بادی، ۳۳ نمونه از رسوبات حاشیه شهر کرمان برداشت شد. با توجه به گستردگی منطقه برای برداشت نمونه‌ها، روش نمونه‌برداری شبکه‌ای تصادفی (systematic random sampling، IAEA, 2004) استفاده شد. نقاط نمونه‌برداری روی نقشه زمین‌شناسی (شکل ۲) نشان داده شده است. به دلیل یکنواختی دانه‌های رسوبات بادی از هر نمونه به میزان یک کیلوگرم برداشت و برای جلوگیری از آلودگی‌های زیست‌محیطی نمونه‌برداری از ژرفای ۱۵ تا ۲۰ سانتی‌متری و توسط پلچه‌های پلاستیکی و چوبی انجام شد. برای دانه‌بندی رسوبات و جلوگیری از آلودگی‌های فنزی از الک‌های پلاستیکی استفاده شد و نمونه‌ها با الک ۸۰ مش (قطر منفذ ۱۸/۰ میلی‌متر) غربال و سپس در مجاورت آفتاب خشک شده‌اند.

برای کانی‌شناسی نمونه‌ها، با استفاده از روش غوطه‌وری در چسب اپوکسی، مقطع نازک تهیه و توسط میکروسکپ پلاریزان نور عبوری مطالعه شد. همچنین ۲۲ نمونه پس از آماده‌سازی، برای بررسی اکسیدهای عناصر اصلی (جدول ۱ و ۲) با استگاه XRF در آزمایشگاه مدیریت زمین‌شناسی منطقه جنوب خاوری (کرمان)، برای بررسی عناصر فرعی و کمیاب با روش ICP-OES و برای بررسی عناصر مولیدن، تنگستن، آرسینیک، آنتیموان و سلیمن با روش جذب اتمی (جدول ۲) در مرکز پژوهش‌های کاربردی سازمان زمین‌شناسی و اکتشافات معدنی کشور تجزیه شد.

منطقه ساختارهای انحلالی و کارستی در کوه‌های صاحب‌الزمان و ارتفاعات شمالی است. در واحدهای آهکی یاد شده تحت تأثیر گسلش و انحلال آب‌های جوی (باران)، حفرات انحلالی و غارهایی به وجود آمده است. دشت گرانبی کرمان حاصل عملکرد گسل‌های عادی است که موجب اختلاف شیبی حدود ۲۸ درصد از جنوب خاوری به شمال باختり شده است (پوراحمد، ۱۳۷۰). سطح وسیعی از شهر کمتر از ۵ درصد شیب دارد و کوه‌های قلعه‌اردخت و قلعه‌اردشیر که در محدوده شهر قرار گرفته‌اند، شیبی حدود ۱۰ درصد دارند.

۳- زمین‌شناسی عمومی

گستردگی استان کرمان و گوناگونی پدیده‌های زمین‌شناسی موجب شده است تا طیف گسترده‌ای از سنگ‌های آذرین، رسوبی و دگرگونی وجود داشته باشد. همچنین، با توجه به اینکه ماسه‌های بادی تابرجا هستند و در مسافت طولانی جابه‌جا شوند، برای شناخت موقعیت زمین‌شناسی، سنگ‌شناسی و کانی‌شناسی آنها لازم است تا مختصصی از وضعیت زمین‌شناسی استان شرح داده شود.

۳-۱. زمین‌شناسی استان کرمان

واحدهای زمین‌ساخت- ماقمایی و رسوبی استان کرمان (شکل ۱) به ترتیب از قدیم به جدید شامل ماسه‌سنگ‌های گریوکی و سیلیتی- شیلی و توف‌های ریولیتی پروتروزوییک بالایی (شمال خاوری کرمان) (Huckriede et al., 1962)، مرمرهای آهکی- دولومیتی و سنگ‌های آذرین گابرودیوریتی (اردوویسین - سیلورین)، ماسه‌سنگ‌های کوارتزیتی و گنگلومرا (دونین- کربنیفر) در باگین- رفسنجان است (Dimitrijevic, 1973). مزوزوییک از آهک‌های بلمنیت و آمونیت‌دار تریاس- ژوراسیک، ماسه‌سنگ‌های گریوکی و شیل، سنگ‌آهک، اسپلیت‌ها و گذازه‌های بازالتی، سنگ‌های فوق بازی و توده‌های نفوذی گرانیتوییدی ژوراسیک، آهک اریوتولین‌دار، ماسه‌سنگ، شیل، مارن و فلیش و سنگ‌های فوق بازی و بازی، کراتوفیر، گذازه‌های بازالتی و اسپلیتی، آندزیت، گابرو، ریولیت و پلاژیوگرانیت کرتاسه تکیل شده است (عطابور و همکاران، ۱۳۸۹). سنوزوییک شامل گنگلومرا کرمان (پالتوسن) و سنگ‌های آتشفشاری (گذازه‌های بازالتی، آندزیتی، داسیت، ریولیت و آذرآواری) و واحدهای رسوبی (گریوک، گنگلومرا، ماسه‌سنگ و آهک نومولیت‌دار) ائوسن و الیگومن است (Dimitrijevic, 1973). توده‌های نفوذی با ترکیب دیوریت، کوارتزدیوریت، گرانوتدیوریت، کوارتز مونزونیت متعلق به الیگومیسن و فعالیت‌های ماقمایی و کانی‌سازی مس پورفیری، اسکارن و کانساههای رگه‌ای و فعالیت آتشفشاری در دوره زمانی میوسن روی داده است. رسوبات کواترنر در استان کرمان، شامل دشت‌های آبرفتی، تراورتن، تراس‌های رودخانه‌ای و آبرفت‌های عهد حاضر در مسیر رودخانه‌های فعال است. کراترهای آتشفشاری بسیار جوان قلعه حسنعلی نیز در این محدوده زمانی قرار دارد.

۳-۲. زمین‌شناسی محدوده شهری کرمان

گستردگی ترین واحدهای سنگی کرتاسه در محدوده شهری کرمان (شکل ۲)، سنگ‌های آهکی ریفی هپیوریت‌دار متعلق به سنونین در کوه صاحب‌الزمان (Huckriede et al., 1962) و کوه جوپار (سنگ‌آهک اولیتی و سیلیستون متعلق به سن نوکومین) جنوب و جنوب باختری کرمان است که بدون انقطاع روی رسوبات ژوراسیک بالایی (سازند هجدک) قرار گرفته است (Dimitrijevic, 1973). گنگلومرا پالتوسن به صورت دگرگشیب سنگ‌آهک‌های ریفی هپیوریت‌دار را می‌پوشاند و مز بالایی آهک‌های کرتاسه بالایی را تشکیل می‌دهد (Dimitrijevic, 1973; Rahimzadeh, 1983). کنگلومرا پالتوسن (کرمان) با سترای ۳۰۰ متر، در ۷ کیلومتری شمال شهر کرمان (کوه سعیدی) جای گرفته و اجزای آن از کوارتزیت خاکستری رنگ تیره، سنگ‌آهک تیره ژوراسیک، سنگ‌آهک ریفی کرتاسه، آرنایت‌های قاعده کرتاسه و سنگ‌آهک‌های اریوتولین‌دار

۶-۱. عناصر اصلی

- سیلیسیم: تغییرات SiO_2 میان ۵۲/۳ تا ۶۰/۸۴ درصد وزنی و میانگین آن ۵۵/۴۵ درصد وزنی است که به دلیل حضور کوارتز، پلاژیوکلاز، ارتوز، کلینوپیروسن، آمفیبول، بیوتیت، اپیدوت، کلریت و قطعات سنگی سنگ‌های آذرین است. گفتنی است که میانگین SiO_2 منطقه از میانگین جهانی (Winspear and Pye, 1996) کمتر است (جدول ۲) که یانگر مقدار کمتر کوارتز و دیگر سیلیکات‌ها نسبت به ماسه‌های بادی جهانی است. مقدار اکسید سیلیسیم در رسوبات بادی عراق (Awadh, 2012) و خاور مکزیک (Kasper-Zubillaga and Zolezzi-Ruiz, 2007) مشابه منطقه مورد مطالعه و در عربستان (Moufti, 2013)، خلیج مکزیک (Kasper-Zubillaga et al., 2013) و نامیبیا (Svendsen, et al., 2007) بین ۷۰ تا ۹۰ درصد متغیر (جدول ۲) و از رسوبات بادی منطقه مورد مطالعه بیشتر است.

- سیتانیوم: میانگین TiO_2 در نمونه‌های رسوبات بادی منطقه مورد مطالعه ۰/۴۶ درصد وزنی و تغییرات آن میان ۰/۳۳ تا ۰/۵۲ درصد وزنی (جدول ۲) است که ۵/۵ برابر از میانگین جهانی (Winspear and Pye, 1996) بیشتر و مشابه مقدار اکسید سیتانیوم موجود در رسوبات بادی عربستان (Moufti, 2013) و مکزیک (Kasper-Zubillaga et al., 2013; Kasper-Zubillaga and Zolezzi-Ruiz, 2007) است. به نظر می‌رسد بالا بودن مقدار TiO_2 می‌تواند به دلیل فراوانی قطعات سنگی آذرین و حضور اسفن (CaTiSiO₅) و ایلمینیت (FeTiO₃) در آنها باشد.

- آلومینیم: میانگین Al_2O_3 در ماسه‌های بادی پیرامون شهر کرمان، ۱۲/۷۵ درصد وزنی و تغییرات آن میان ۷/۹۳ تا ۱۴/۵۱ درصد وزنی (جدول ۲) است که دو برابر میانگین جهانی (Winspear and Pye, 1996) است. بررسی ترکیب شیمیایی رسوبات بادی مناطق مختلف دنیا نشان می‌دهد که مقدار اکسید آلومینیم در رسوبات بادی عراق (Awadh, 2012) و شرق مکزیک (Moufti, 2013)، خلیج مکزیک (Kasper-Zubillaga and Zolezzi-Ruiz, 2007) مشابه منطقه پیرامون شهر کرمان و در عربستان (Kasper-Zubillaga et al., 2013) بیشتر است. این افزایش حضور احتمالی مگنتیت، هماتیت و گوچیت را به شکل آلومینیم شده است.

- آهن: میانگین FeO در رسوبات بادی برداشت شده، ۴/۰۸ درصد وزنی و تغییرات آن میان ۳۰/۰ تا ۴۶/۱ اندازه گیری شده است که نسبت به میانگین جهانی (Winspear and Pye, 1996) ۱۰ برابر و از رسوبات بادی صحرای دنیا Awadh, 2012; Kasper-Zubillaga and Zolezzi-Ruiz, 2007; Kasper-Zubillaga et al., 2013; Svendsen et al., 2007 بیشتر است. این افزایش حضور احتمالی مگنتیت، هماتیت و گوچیت را به شکل کانی‌های کدر نشان می‌دهد.

- منیزیم: میانگین MgO در ماسه‌ها، ۲/۷ درصد وزنی و تغییرات آن میان ۲۰/۷ تا ۳۵/۸ است که نسبت به رسوبات بادی صحرای دنیا ۱۰ برابر (Awadh, 2012; Kasper-Zubillaga and Zolezzi-Ruiz, 2007; Kasper-Zubillaga et al., 2013; Moufti, 2013; Svendsen et al., 2007) بیشتر است و می‌تواند به دلیل وجود دولومیت و سیلیکات‌های تیره باشد.

- گلسیم: میانگین CaO در رسوبات بادی پیرامون شهر کرمان، ۱۱/۹۸ درصد وزنی و تغییرات عیار آن میان ۷/۸۶ تا ۱۸/۸۱ درصد وزنی (جدول ۱) است. میانگین CaO اندازه گیری شده از نمونه‌های ماسه‌های بادی پیرامون کرمان مشابه خلیج مکزیک (Kasper-Zubillaga et al., 2013) است که به دلیل فراوانی قطعات سنگ‌های آهکی در آنهاست.

- سدیم: میانگین Na_2O در نمونه‌های برداشت شده ۱/۷۴ درصد وزنی و تغییرات

۵- ساخت و کانی‌شناسی رسوبات بادی

رسوبات بادی در پیرامون شهر کرمان را می‌توان به رسوبات متراکم و منفصل تقسیم‌بندی کرد. رسوبات متراکم ساختار لایه‌بندی مقاطع نشان می‌دهد و میان‌لایه‌ای از رسوبات رودخانه‌ای (آبرفتی) درشت‌دانه‌تر در آنها دیده می‌شود (شکل‌های ۳-الف و ب). رسوبات منفصل یا شن‌های روان دارای رسوب میان ۰/۰۶ تا ۲ میلی‌متر غیرمتقارن هستند (شکل ۳-پ) و اندازه دانه‌های رسوب کرانه دارای کانی‌های رسی بیشتر هستند. مطالعه مقاطع نازک رسوبات بادی (جدول ۱ و شکل ۶) فراوانی قطعات سنگ‌های آذرین آتشفانی با زمینه اپاکی-ایترگرانولار و تراکیتی را تأیید می‌کند. همچنین قطعات سنگ‌های آذرین درونی (گرانیتوییدها) و بیرونی (آنذزیت و داسیت) با ترکیب کانی‌شناسی کوارتز، پلاژیوکلاز، ارتوز، کلینوپیروسن، آمفیبول، بیوتیت و اپیدوت و کلریت در برخی از مقاطع نازک دیده می‌شود. فراوانی سنگ‌های آذرین در برخی از نمونه‌ها به ۲۵ درصد نیز می‌رسد. همچنین قطعات سنگ‌های آهکی ریزدانه میکراتی فسیل دار یا سنگ‌آهک‌های اسپاراپاتی، فراوانی قابل توجهی دارد و در برخی از نمونه‌ها ۳۰ درصد رسوبات را تشکیل می‌دهد. قطعات سنگ‌های دگرگونی شیستی (۵ درصد) نیز در برخی از مقاطع دیده می‌شود. کانی‌های درشت‌بلور کلسیت (۱۰ درصد)، کوارتز (۷ درصد)، چرت (۴ درصد)، ژپس (۲ درصد)، فلدسپارهای قلیایی و پلاژیوکلاز (۵ درصد)، اکسیدهای آهن (مگنتیت، هماتیت و گوچیت ۵ درصد)، کلینوپیروسن (۲ درصد آمفیبول) ۵ درصد، ژپس (۵ درصد) و ایلمینیت و اسفن (۱ درصد) نیز در رسوبات بادی دیده می‌شود. محاسبه کانی‌های نورماتیو در رسوبات بادی (جدول ۱) نیز نشان‌دهنده حضور ۳۰ درصد کلسیت، ۱۵/۴ درصد کوارتز، ۱۲/۵ درصد ارتوز، ۱۰ درصد آلتیت، ۲/۵ درصد آنورتیت، ۲ درصد دیوپسید، ۱ درصد انسنتیت، ۴/۶ درصد کانی‌های رسی، ۰/۳۷ درصد آپاتیت، ۳ درصد ژپس، ۳ درصد هماتیت، ۰/۴۵ درصد بروکیت، ۱۰ درصد دولومیت است. مقدار کل کانی‌های نورماتیو نسبت به کانی‌های حقیقی ۸ درصد کمتر است که مربوط به مقدار مواد فرار (L.O.I) منظور نشده در محاسبه است.

بررسی بافت و کانی‌شناسی رسوبات بادی و رودخانه‌ای نشان می‌دهد که این رسوبات با دانه‌های درشت، جورشدگی ضعیف و گردشگی متوسط از رسوبات بادی که اندازه ریزتر، جورشدگی خوب و گردشگی متوسط دارند، متمایز می‌شوند و دارای قطعات سنگی فراوان آتشفانی و کانی‌های کوارتز، پلاژیوکلاز و کانی‌های تیره (کدر) هستند. بررسی مقاطع نازک رسوبات بادی دارای قدبیمی و جدید تفاوت چندانی در بافت و کانی‌شناسی آنها نشان نمی‌دهد (شکل ۶).

بررسی نتایج مطالعات کانی‌شناسی رسوبات ریزدانه بادی موجود در آبرفت‌های جنوب کوه شهرزاد (باخته باخین) (عطابور و همکاران, ۱۳۸۶) مؤید حضور ۴۰ درصد قطعات سنگی آتشفانی و گرانیتوییدی، ۱۰ تا ۱۵ درصد کوارتز و چرت، و ۱۰ تا ۱۵ درصد پلاژیوکلاز، ۱۰ تا ۱۵ درصد اپیدوت، پیروکسن، کلریت، کانی‌های کدر، ژپس و کانی‌های رسی و ۲۵ تا ۳۰ درصد قطعات آهکی فسیل دار و ماسه‌ای است که شباهت فراوانی با رسوبات بادی در منطقه مورد مطالعه نشان می‌دهد.

۶- ژئوشیمی

بررسی ژئوشیمی عناصر اصلی، فرعی، کمیاب و کمیاب خاکی در رسوبات بادی نشان‌دهنده افزایش مقادیر اکسید کلسیم و کاهش اکسید سیلیسیم نسبت به متوسط رسوبات بادی جهانی است (جدول ۲). تغییرات مقادیر W , Cu , Mo , Pb , Zn , Sn , As , Se , Li , Rb , Ba و Sb به میانگین پوسته‌ای تزدیک است.

اکسید آلومینیم در برابر اکسیدهای پاتاسیم، سدیم و کلسیم (شکل‌های ۹-الف تا ۱۰) نشان‌دهنده همبستگی قوی Na_2O با Al_2O_3 و K_2O و همبستگی ضعیف آن با CaO و نیز نشان‌دهنده فراوانی فلدسپارهای قلیایی و پلاژیوکلازهای سدیم‌دار است. جالب توجه است که تغییرات CaO در برابر SO_3 و L.O.I نشان‌دهنده همبستگی قوی اکسید کلسیم با مواد فرار، فراوانی کلسیت (شکل ۱۰-الف) در نمونه‌ها و همبستگی ضعیف آن با SO_3 (شکل ۱۰-ب)، کمبود ژیپس و انیدریت در آنهاست. همچنین تغییرات SiO_2 در برابر Al_2O_3 در برابر L.O.I (شکل‌های ۱۰-پ و ت) کمبود کانی‌های رسی در رسوبات بادی را نشان می‌دهد.

نمودار تغییرات اکسید سیلیسیم در برابر اکسیدهای قلیایی (شکل ۱۱-الف) نشان می‌دهد که قطعات سنگی آذرین بیشتر از نوع آندزیت بازالتی، آندزیت و بازالت است. از سوی دیگر، تغییرات اکسید سیلیسیم در برابر اکسیدهای قلیایی خاکی (شکل ۱۱-ب) نشان‌دهنده بالا بودن مقادیر عناصر قلیایی خاکی در رسوبات بادی است که با مقادیر اکسیدهای یاد شده در سنگ‌های آذرین تطابق ندارد و بر عکس فراوانی سنگ‌های آهکی را در رسوبات بادی نشان می‌دهد. تغییرات اکسیدهای عناصر اصلی رسوبات بادی منطقه مورده مطالعه در مقایسه با رسوبات بادی عراق (2012), عربستان (Moufti, 2013), خلیج مکریک (Kasper-Zubillaga et al., 2013), خاور مکریک (عطاپور، ۱۳۸۶) هم‌منشا است. همچنین، نمودار تغییرات CaO در برابر استرانسیم (شکل ۱۳-ب) حضور آن را در سنگ‌های کربناتی و آذرین منطقه دهچ-ساردویه نشان می‌دهد. جالب توجه است که تغییرات نسبت $\text{SiO}_2/\text{Al}_2\text{O}_3$ در برابر $\text{Fe}_2\text{O}_3/\text{K}_2\text{O}$ (شکل ۱۳-پ و ت) نزدیکی ترکیب شیمیایی ماسه‌های بادی با یکسان آنهاست.

بررسی نمودار $\text{K}_2\text{O}/\text{Al}_2\text{O}_3$ در برابر $\text{Na}_2\text{O}/\text{Al}_2\text{O}_3$ (شکل ۱۳-الف) نشان می‌دهد که مقادیر Na_2O , K_2O و Al_2O_3 در نمونه‌های بادی با سنگ‌های آهکی کوه صاحب‌الزمان و سنگ‌های آذرین درونی و بیرونی کمرنده دهچ-ساردویه (عطاپور، ۱۳۸۶) هم‌منشا است. همچنین، نمودار تغییرات CaO در برابر استرانسیم (شکل ۱۳-ب) حضور آن را در سنگ‌های کربناتی و آذرین منطقه دهچ-ساردویه نشان می‌دهد. جالب توجه است که تغییرات نسبت $\text{SiO}_2/\text{Al}_2\text{O}_3$ در برابر $\text{Fe}_2\text{O}_3/\text{K}_2\text{O}$ (شکل ۱۳-پ و ت) نزدیکی ترکیب شیمیایی ماسه‌های بادی با سنگ‌های آهکی کرتاسه بالایی را نشان می‌دهد و با فراوانی قطعات سنگ‌آهک در آنها تأیید می‌شود. روند خطی نمونه‌ها در نمودار $\text{Zr}-\text{Ti}$ (شکل ۱۳-ث) و مقایسه آنها با سنگ‌های آذرین دهچ-ساردویه نشانگر کانی‌های سنگین دارای تیتانیم و زیرکنیم است که احتمالاً حضور تیتانومگنتیت، روتبیل، زیرکن و ایلمنیت و پروکیت را نشان می‌دهد. ارتباط خطی سریم و ایتریم (شکل ۱۳-ج) نیز نشان‌دهنده فراوانی عناصر کمیاب و کمیاب خاکی سنگین و سبک و حضور کانی‌های میزان عناصر کمیاب خاکی (مونازیت، آپاتیت، روتبیل، تیتانومگنتیت و اسفن) است (Arbogast and Muhs, 2000). در شکل ۱۴، نمودار عناصر کمیاب خاکی در برابر کندریت بهنجار شده است که منشاً گرفتن رسوبات را از سنگ‌های آذرین و کانی‌های دارای عناصر کمیاب خاکی نشان می‌دهد.

۸- اهمیت اقتصادی

ماسه‌های بادی در صنایع ریخته‌گری، شیشه‌سازی، سایندها و در فرایندهای متالورژی کاربرد دارد (Chapman, 2001). با توجه به اینکه ماسه‌های استفاده شده در صنایع ریخته‌گری تا ۲۵ مرتبه قابل استفاده و در پایان قابل بازگشت به طبیعت هستند، استفاده از آنها از دید زیست‌محیطی نیز مغرون به صرفه است (Chapman, 2001). رسوبات بادی غنی از اکسید سیلیسیم را به عنوان ذخایر مناسب برای تولید شیشه معرفی کردند (Chapman, 2001). کمبود SiO_2 موجود در ماسه‌های بادی منطقه مورده مطالعه (میانگین ۵۵/۴۵ درصد وزنی) نشان می‌دهد که این رسوبات برای مصارف شیشه‌سازی کاربردی ندارد؛ ولی حضور کوارتز و قطعات سنگ‌های آذرین در رسوبات بادی می‌تواند در صنایع ریخته‌گری و سایندها مورد

آن میان ۱ تا ۲/۲۹٪ متغیر است (جدول ۱)؛ که با میانگین اکسید سدیم در رسوبات بادی جهانی، برابر (Winspear and Pye, 1996) و از رسوبات بادی عربستان و خاور مکریک کمتر (Kasper-Zubillaga and Zolezzi-Ruiz, 2007; Moufti, 2013) است (جدول ۲).

- **پتاسیم:** میانگین K_2O در ماسه‌های بادی پیرامون شهر کرمان ۲/۱۲ درصد وزنی و تغییرات آنها میان ۱/۱۴ تا ۳/۰۵ درصد وزنی است (جدول ۱) که تقریباً معادل میانگین رسوبات بادی دنیا (Winspear and Pye, 1996) و رسوبات بادی گزارش شده در صحاری دنیاست (Winspear and Pye, 1996). حضور کانی‌های پاتاسیم دار مانند ارتوز ($\text{KAlSi}_3\text{O}_{10}(\text{OH})_2$) و بیوتیت (Kasper-Zubillaga and Zolezzi-Ruiz, 2007) در رسوبات بادی نشان‌دهنده حضور این عنصر در ترکیب شیمیایی آنهاست.

- **فسفر:** میانگین P_2O_5 ۰/۱۶ درصد وزنی و تغییرات آنها میان ۰/۱۴ تا ۰/۱۸ درصد گزارش شده که همانند مقدار اکسید فسفر در رسوبات بادی نامیبا (Swendsen et al., 2007) و کمتر از مناطق دیگر است (Kasper-Zubillaga and Zolezzi-Ruiz, 2007).

(Kasper-Zubillaga et al., 2013; Moufti, 2013)

- **اکسیدهای فرار (L.O.I):** میانگین اکسیدهای فرار درصد وزنی است که بیش از ۱۰ در برابر میانگین جهانی است. تغییرات اکسیدهای فرار میان ۵/۰۷ تا ۱۱/۴۵ درصد وزنی و میانگین SO_3 ۰/۵۲ درصد وزنی و تغییرات آنها ۰/۰۴ تا ۱/۴۹ درصد وزنی (جدول ۱) است که نشان‌دهنده فراوانی ژیپس و انواع سولفات‌ها در رسوبات بادی منطقه است.

۶- عناصر فرعی و کمیاب

بررسی عیار عناصر فرعی و کمیاب (جدول ۲)، در نمونه‌های رسوبات بادی منطقه مورده مطالعه نشان می‌دهد که میانگین عیار عناصر مس (۳۴/۰۹ گرم در تن)، کیالت (۱۲/۲۷ گرم در تن)، کروم (۵۰/۰۷ گرم در تن)، نیکل (۲۷/۰۵ گرم در تن)، تنگستن (۰/۰۷ گرم در تن)، اسکاندیم (۲۶/۰۲ گرم در تن)، قلع (۱۰/۸۶ گرم در تن)، وانادیم (۵۷/۰۷ گرم در تن)، رویدیم (۷۹/۰۶ گرم در تن)، اورانیم (۲/۰۲ گرم در تن)، لانتانیم (۲۴/۰۲ گرم در تن)، سریم (۳۱/۰۴ گرم در تن)، یورپیم (۱ گرم در تن)، گادولونیم (۴۳/۱ گرم در تن)، نودیمیم (۱۸/۰۹ گرم در تن)، ساماریم (۳/۵۵ گرم در تن)، ایتریم (۱۸/۰۴ گرم در تن)، ایتریم (۲/۰۴۸ گرم در تن)، از میانگین عیار این عناصر در پوسته کمتر است. در حالی که عیار عناصر مولیبدن (۰/۰۶ گرم در تن)، سرب (۰/۰۶ ۱۸/۰۴ گرم در تن)، روی (۶۸/۰۳ گرم در تن)، کادمیم (۰/۱۸ گرم در تن)، باریم (۴/۰۵۴ گرم در تن)، روی (۶۸/۰۳ گرم در تن)، کادمیم (۰/۱۸ گرم در تن)، سریم (۳/۶۳ گرم در تن)، گالیم (۱۵/۰۱ گرم در تن)، سریم (۵۰/۰۹ ۸/۰ گرم در تن)، سریم (۱۱/۰۵ گرم در تن)، توریم (۰/۰۶۸ گرم در تن)، تالیم (۱۳۴/۰۵ گرم در تن)، دیسپرسیم (۳/۵ گرم در تن)، کمی بیشتر از میانگین عیار این عناصر در پوسته است. جالب توجه است که عیار نقره (۰/۰۲ گرم در تن)، لیتیم (۳۴/۰۳ گرم در تن)، سلینیم (۰/۰۴۵ گرم در تن)، آرسیک (۲۴/۰۶ گرم در تن) و آنتیموان (۹۱/۰ گرم در تن) از عیار میانگین پوسته بسیار بیشتر است.

۷- بحث و بررسی

بررسی نمودار تغییرات اکسید سیلیسیم در برابر اکسیدهای آلومینیم، آهن، منیزیم و کلسیم (شکل‌های ۸-الف تا ۸-ث) نشان‌دهنده تغییرات بسیار کم و یا کاهشی آنها با افزایش SiO_2 و کمبود سیلیکات‌های تیره (اویوین، پپروکسن و آمفیبول) در رسوبات است. شب مثبت نمودارهای تغییرات اکسید سیلیسیم در برابر K_2O و Na_2O (شکل‌های ۸-ث و چ) فراوانی فلدسپارهای قلیایی و پلاژیوکلازهای سدیم‌دار و کانی‌های رسی در رسوبات بادی را نشان می‌دهد. همچنین تغییرات SiO_2 در برابر TiO_2 و اکسید تیتانیم در برابر اکسید آهن (شکل‌های ۸-چ و چ) نیز بیانگر ناسازگاری TiO_2 با SiO_2 است. این ویژگی حضور اکسیدهای آهن و تیتان را (ایلمنیت و مگنتیت) در رسوبات بادی پیرامون شهر کرمان نشان می‌دهد. تغییرات

عراق و عربستان همانندی دارند. همبستگی قوی میان Al_2O_3 با Na_2O و K_2O ، حضور فلدسپارهای قلایی، CaO با $\text{L}_2\text{O}\cdot\text{I}$ ، فراوانی کلسیت و قطعات سنگی آهکی و TiO_2 با Fe_2O_3 ، حضور اکسیدهای آهن و تیتان مانند ایلمینیت را نشان می‌دهد. از سوی دیگر، همبستگی ضعیف SiO_2 با MgO و Fe_2O_3 کمبود سیلیکات‌های تیره و کانی‌های رسی را بازگو می‌کند.

نمودار $\text{K}_2\text{O}/\text{Al}_2\text{O}_3$ در برابر $\text{Na}_2\text{O}/\text{Al}_2\text{O}_3$ و تغییرات نسبت $\text{SiO}_2/\text{Al}_2\text{O}_3$ را نشان می‌دهد. نمودار $\text{Fe}_2\text{O}_3/\text{K}_2\text{O}$ در برابر $\text{Na}_2\text{O}/\text{K}_2\text{O}$ گویای منشا گرفتن رسوبات از سنگ‌های آذرین و رسوبی است. نمودار CaO در برابر Sr نشان‌دهنده حضور سنگ‌های آهکی و قطعات سنگی آذرین است. روند خطی نمونه‌ها در نمودار $\text{Ce} - \text{Y} - \text{Zr}$ با سنگ‌های آذرین دهنج-ساردوییه منطبق است.

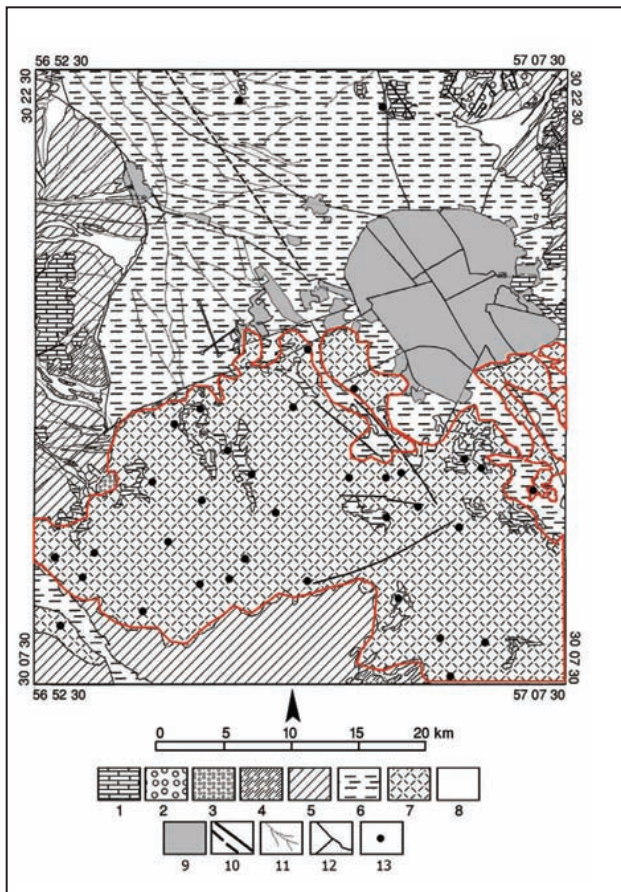
بررسی بیشتر رسوبات بادی منطقه می‌تواند اهمیت آنها را در صنایع سایندها و ریخته‌گری نشان دهد.

استفاده قرار گیرد. همچنین همانندی ترکیب شیمیایی رسوبات بادی پیرامون شهر کرمان با خاک شهری و خاک کشاورزی غیرآلوده (جدول ۳) و مقادیر مجاز عناصر سنگین در آنها اهمیت کاربردی رسوبات بادی را در کاشت فضای سبز و محصولات کشاورزی نشان می‌دهد.

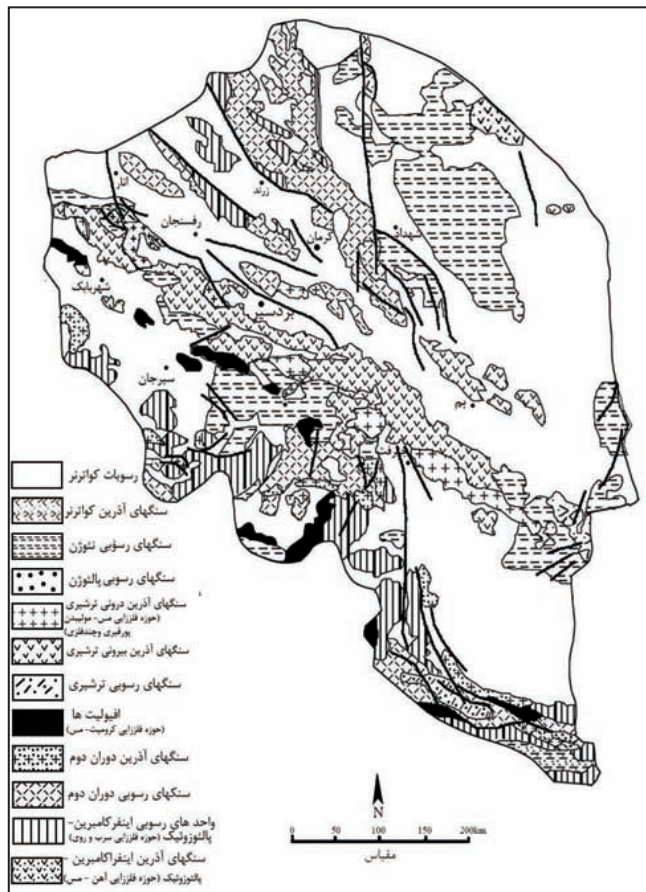
۹- نتیجه‌گیری

رسوبات بادی بیشتر در شمال، خاور و دشت‌های جنوبی کرمان گسترش دارند و از کلسیت، کوارتز، کلسیدونی، اوپال، ژپس، فلدسپارهای قلایی و پلازیوکلازها، پیروکسن، آمفیبول، اکسیدهای آهن و قطعات سنگی آذرین، رسوبی (آهکی) و دگرگونی تشکیل شده است.

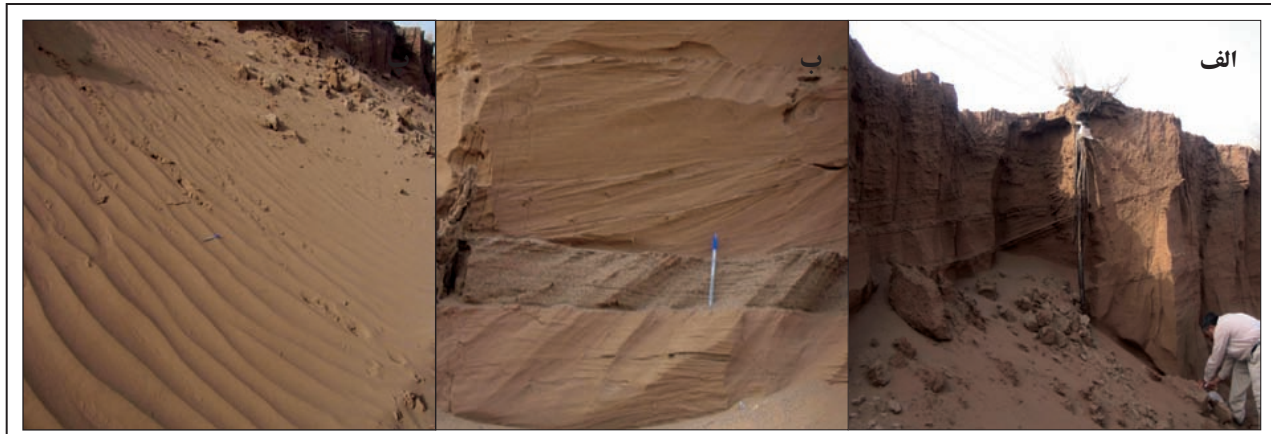
رسوبات بادی ریزدانه با گردشگی خوب از رسوبات آبرفتی درشت‌دانه‌تر جدا می‌شوند. ترکیب شیمیایی رسوبات بادی نشان‌دهنده فراوانی اکسیدهای آلومینیم، کلسیم، منیزیم، آهن و کمبود سیلیس، تیتانیم و فسفر در آنهاست که با رسوبات بادی



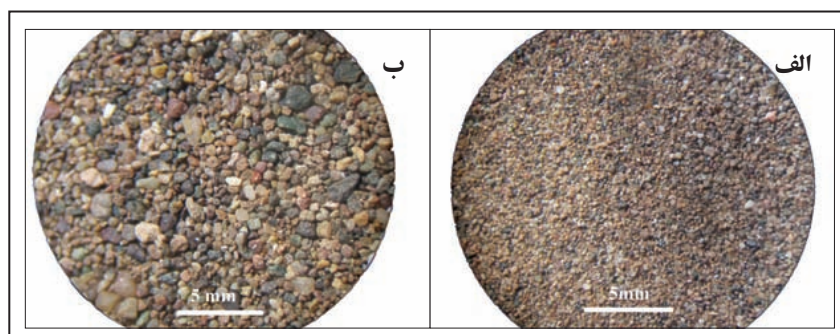
شکل ۲- نقشه زمین‌شناسی منطقه مورد مطالعه (۱- سنگ آهک کرتاسه بالایی، ۲- کنگلومرات پالئوسن، ۳- کنگلومرات نئوژن، ۴- نهشته‌های آبرفتی، ۵- آبرفت‌های با سیمان ضعیف، ۶- پهنه‌های سیلتی، ۷- رسوبات بادی، ۸- آبرفت‌های عهد حاضر، ۹- مناطق مسکونی، ۱۰- گسل، ۱۱- آبراه، ۱۲- خیابان و جاده، ۱۳- محل نمونه برداری، نقل با تغییرات از: سازمان نقشه‌برداری کشور (۱۳۷۹)، Atapour and Aftabi (2002) و Djokovic and Dimitrijevic (1972).



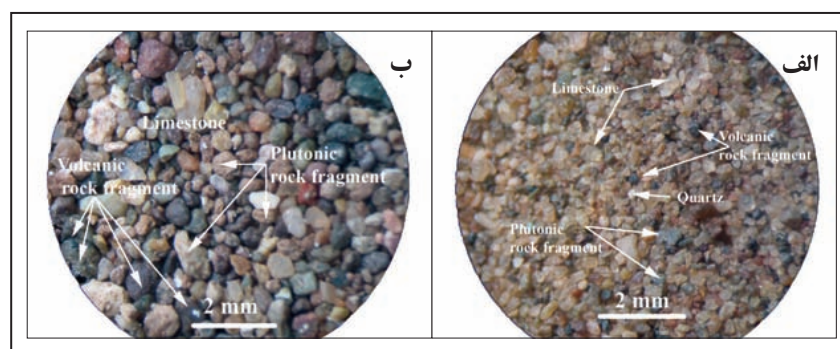
شکل ۱- نقشه زمین‌شناسی استان کرمان (عطابور و همکاران، ۱۳۸۹).



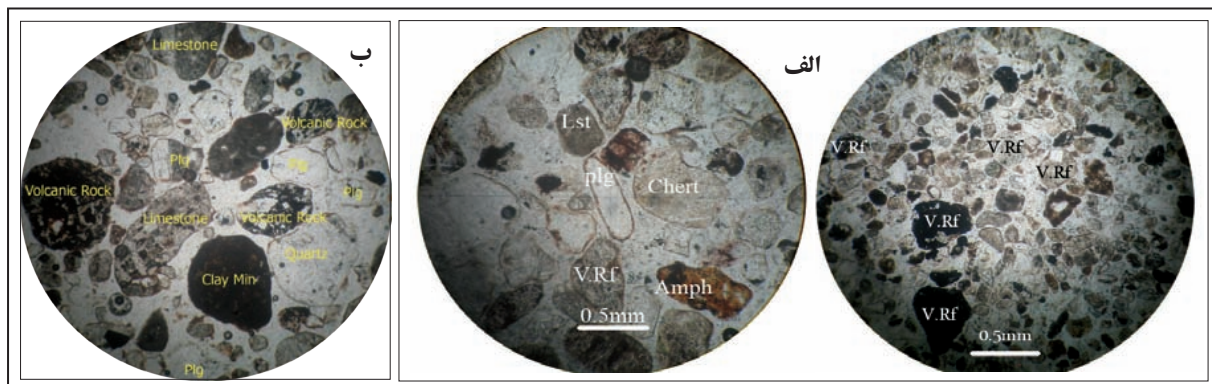
شکل ۳- الف) مقطع عرضی از رسوبات بادی با لایه‌بندی متقارن؛ ب) لایه بندی متقطع و تناوب لایه‌های ماسه‌های بادی (فصول خشک) و رسوبات آبی (فصول بارانی)؛ پ) ریپل مارک‌های غیر متقاضان در سطح رسوبات بادی در روستای باقرآباد، جنوب باخته کرمان.



شکل ۴- مقایسه اندازه و دانه بندی رسوبات: الف) بادی؛ ب) رودخانه‌ای.



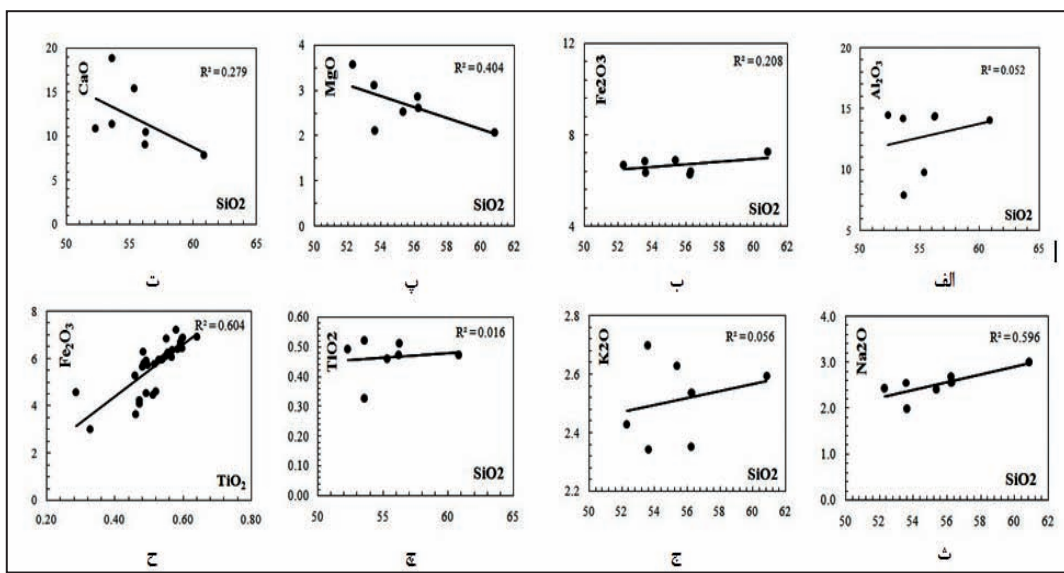
شکل ۵- کارشناسی رسوبات: الف) بادی؛ ب) رودخانه‌ای.



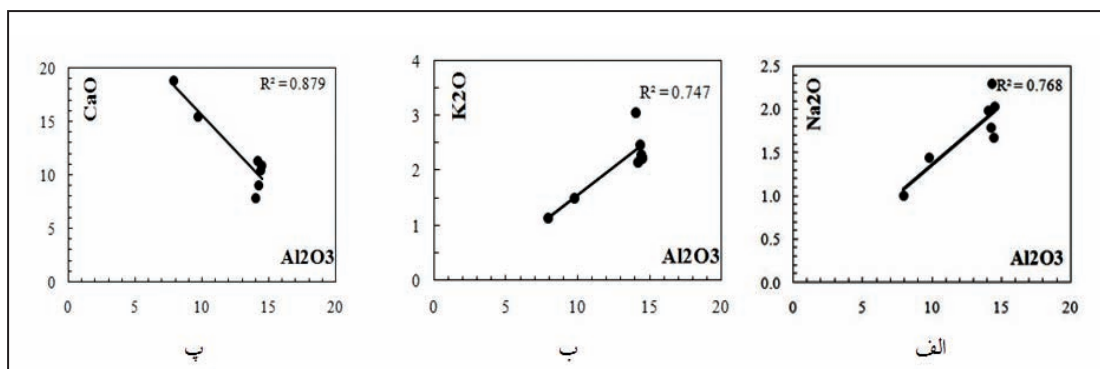
شکل ۶- الف) مقطع نازک رسوبات بادی پیرامون شهر کرمان در مقایسه با ب) رسوبات بادی دامنه کوه شهرزاد (نیکل موازی) (عطاطپور و همکاران، ۱۳۸۶)؛ نشانه‌ها: قطعات سنگی آتشفسانی، Amph=آمفیبول، Plg=پلازیوکلаз، Lst=سنگ آهک.



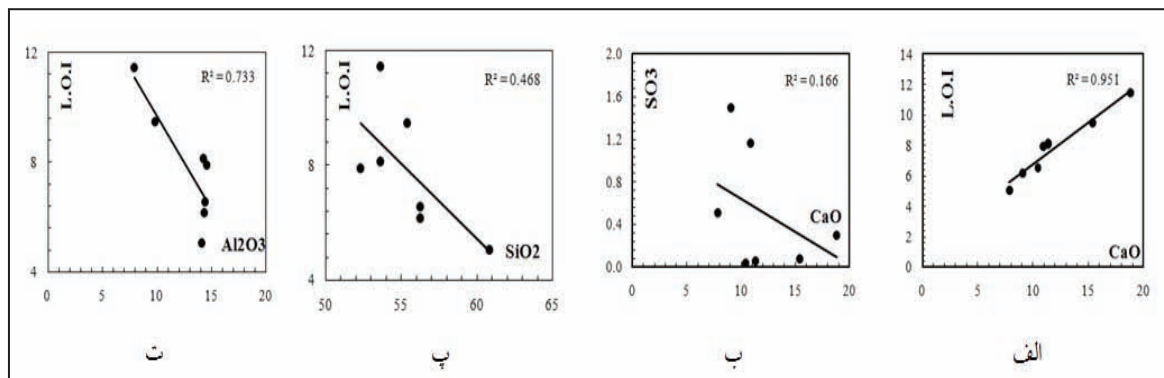
شکل ۷- مقطع عرضی تاوب رسوبات بادی و آبی و مقاطع نازک مربوط به آنها از رسوبات بادی پیرامون شهر کرمان؛ نشانه‌ها: V.R.F=قطعات سنگی آتشفسانی، Amph=آمفیبول، Plg=پلازیوکلاز، Lst=سنگ آهک.



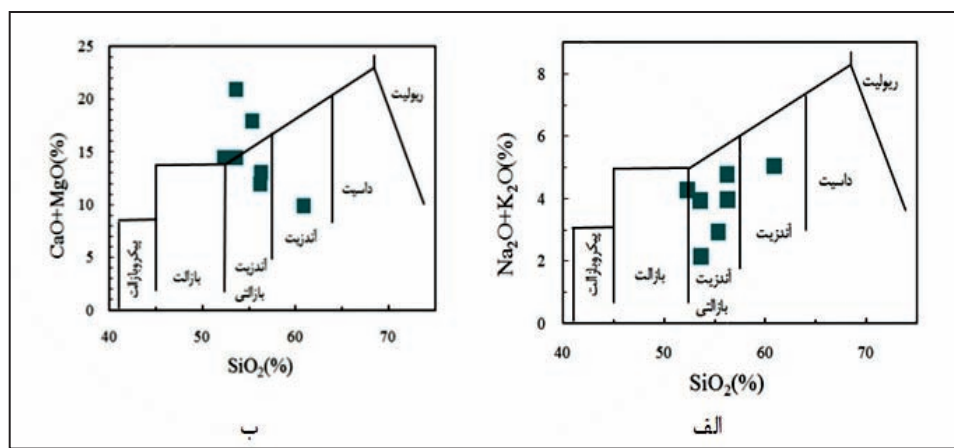
شکل ۸- نمودار همبستگی اکسیدهای سیلیسیم با اکسیدهای عناصر اصلی در ماسه‌های بادی پیرامون شهر کرمان.



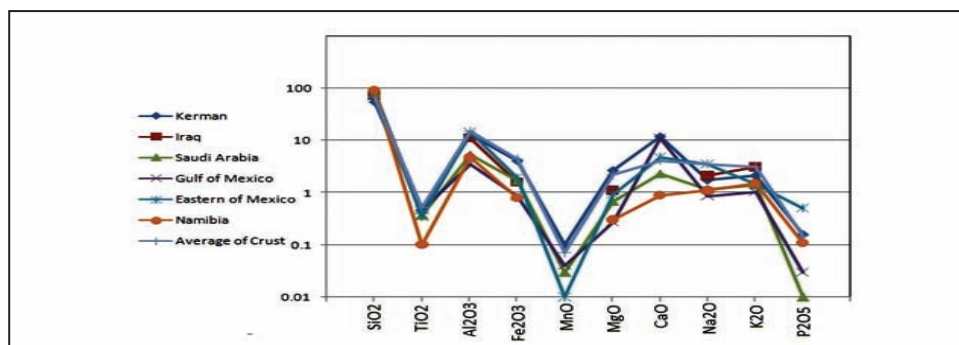
شکل ۹- تغییرات اکسید آلمینیم در برابر اکسیدهای سدیم، پتاسیم و کلسیم در رسوبات بادی پیرامون شهر کرمان.



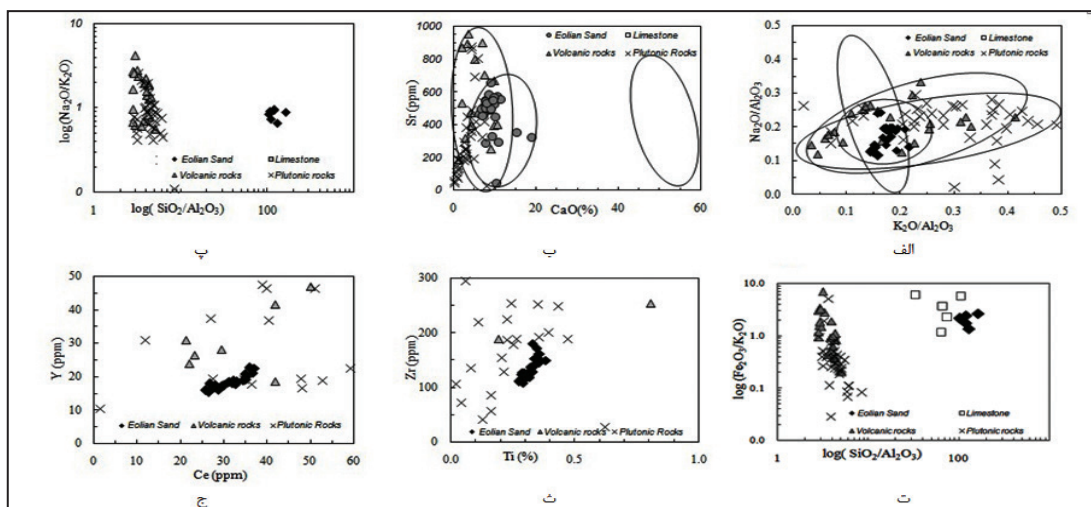
شکل ۱۰- همبستگی اکسیدهای عناصر اصلی در برابر مواد فرار در رسوبات بادی پیرامون شهر کرمان.



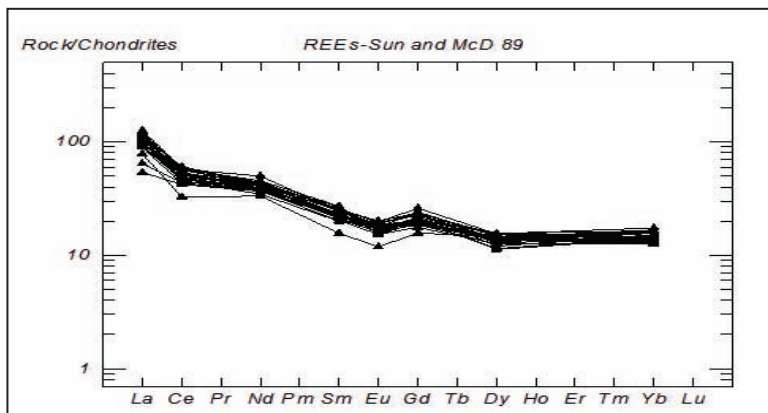
شکل ۱۱- تغییرات اکسید سیلیسیم در برابر: (الف) اکسیدهای قلیابی؛ (ب) اکسیدهای قلیابی خاکی.



شکل ۱۲- تغییرات اکسیدهای اصلی (درصد) در رسوبات بادی پیرامون شهر کرمان و میانگین آن با متوسط پوسته مناطق مختلف دنیا.



شکل ۱۳- تغییرات: (الف) $\log(\text{Na}_2\text{O}/\text{K}_2\text{O})$ در برابر $\log(\text{SiO}_2/\text{Al}_2\text{O}_3)$ در برابر $\text{K}_2\text{O}/\text{Al}_2\text{O}_3$ در برابر $\text{Na}_2\text{O}/\text{Al}_2\text{O}_3$ (ب) Sr در برابر CaO در برابر $\text{Na}_2\text{O}/\text{Al}_2\text{O}_3$ (ج) Y در برابر Ce در برابر $\text{SiO}_2/\text{Al}_2\text{O}_3$ (د) Zr در برابر $\text{Ti}(\%)$ در برابر $\text{Fe}_2\text{O}_3/\text{K}_2\text{O}$ (ه) $\log(\text{PtO}/\text{K}_2\text{O})$ در برابر $\log(\text{SiO}_2/\text{Al}_2\text{O}_3)$ در برابر $\text{K}_2\text{O}/\text{Al}_2\text{O}_3$ برای مقایسه ترکیب شیمیایی سنگ‌های آذرین کمرنده‌دهج- ساردوییه (عطاپور، ۱۳۸۶)، سنگ‌های آهکی کوه صاحب‌الزمان و رسوبات بادی منطقه (Muhs and Benedict, 2006; Muhs and Budahn, 2006).



شکل ۱۴- نمودار عنکبوتی مقادیر اندازه‌گیری شده در ماسه‌های بادی منطقه مورد مطالعه نسبت به کندریت‌ها.

جدول ۱- ترکیب سنگ‌شناسی و کانی‌شناسی رسوبات بادی حاشیه شهر کرمان.

سنگ‌ها و کانی‌ها	سنگ‌ها (%)	کانی‌های سیلیکاتی (%)	کانی‌های غیرسیلیکاتی (%)	کانی‌های نورماتیو (%)
سنگ‌های آذرین	۲۵	---	---	---
سنگ‌های رسوبی	۳۰	---	---	---
سنگ‌های دگرگونی	۵	---	---	---
کوارتز	---	۷	---	۱۵/۴
فلدسبارها	---	۵	---	ارتوز (۱۲/۵)، آلیت (۱۰)، آنورتیت (۲/۵)
کلینوپیروکسن‌ها	---	۲	---	دیوبسید (۲) و انساتیت (۱)
آمفیبول	---	۱	---	---
کلسیت	---	---	۱۰	۳۰
چرت	---	---	۴	---
ژپس (اندریت)	---	---	۵	۳
مگنتیت، هماتیت و گتویت	---	---	۵	مگنتیت و هماتیت (۳)
بروکیت	---	---	---	۰/۴۵
اسفن و ایلمنیت	---	۰/۵	۰/۵	---
دولومیت	---	---	---	۱۰
آپاتیت	---	---	---	۰/۳۷
کانی‌های رسی	---	---	---	۴/۶
سنگ‌های آذرین	۲۵	---	---	کانی‌های نورماتیو (%)
سنگ‌های رسوبی	۳۰	---	---	کانی‌های غیرسیلیکاتی (%)
سنگ‌های دگرگونی	۵	---	---	---
کوارتز	---	۷	---	۱۵/۴
فلدسبارها	---	۵	---	ارتوز (۱۲/۵)، آلیت (۱۰)، آنورتیت (۲/۵)
کلینوپیروکسن‌ها	---	۲	---	دیوبسید (۲) و انساتیت (۱)
آمفیبول	---	۱	---	---
کلسیت	---	---	۱۰	۳۰
چرت	---	---	۴	---
ژپس (اندریت)	---	---	۵	۳
مگنتیت، هماتیت و گتویت	---	---	۵	مگنتیت و هماتیت (۳)
بروکیت	---	---	---	۰/۴۵
اسفن و ایلمنیت	---	۰/۵	۰/۵	---
دولومیت	---	---	---	۱۰
آپاتیت	---	---	---	۰/۳۷
کانی‌های رسی	---	---	---	۴/۶
سنگ‌های آذرین	۲۵	---	---	کانی‌های نورماتیو (%)
سنگ‌های رسوبی	۳۰	---	---	کانی‌های غیرسیلیکاتی (%)
سنگ‌های دگرگونی	۵	---	---	---
کوارتز	---	۷	---	۱۵/۴
فلدسبارها	---	۵	---	ارتوز (۱۲/۵)، آلیت (۱۰)، آنورتیت (۲/۵)
کلینوپیروکسن‌ها	---	۲	---	دیوبسید (۲) و انساتیت (۱)
آمفیبول	---	۱	---	---
کلسیت	---	---	۱۰	۳۰
چرت	---	---	۴	---
ژپس (اندریت)	---	---	۵	۳
مگنتیت، هماتیت و گتویت	---	---	۵	مگنتیت و هماتیت (۳)
بروکیت	---	---	---	۰/۴۵
اسفن و ایلمنیت	---	۰/۵	۰/۵	---
دولومیت	---	---	---	۱۰
آپاتیت	---	---	---	۰/۳۷
کانی‌های رسی	---	---	---	۴/۶

جدول ۲- میکرگران تغیرات و انحراف میکار اکسیدهای اصلی (درصد وزنی) در رسم بادی منطقه مورد مطالعه (XRF نمونه با روش XRF و ICP-OES نمونه با روش ICP-OES) و مقاسه آن با مناطق مختلف دنیا و میکرگران همچانی.

		SiO_2	TiO_2	Al_2O_3	Fe_2O_3	MnO	MgO	CaO	Na_2O	K_2O	P_2O_5	SO_3	L.O.I	Total
منطقه مورد مطالعه	روش XRF	گندمیه	52.3	0.33	7.93	3.02	0.08	2.07	7.86	1.00	1.14	0.14	0.04	5.07
		بیشینه	60.84	0.52	14.51	4.61	0.13	3.58	18.81	2.29	3.05	0.18	1.49	11.45
		میکرگران	55.45	0.46	12.75	4.08	0.1	2.7	11.98	1.74	2.12	0.16	0.52	7.82
		انحراف معيار	2.8	0.06	2.72	0.58	0.02	0.54	3.82	0.43	0.63	0.02	0.58	2.16
		گندمیه	-	0.07	1.61	0.58	-	0.26	3.10	0.83	0.29	0.06	-	-
		بیشینه	-	0.64	15.32	7.24	-	2.24	22.63	5.43	2.74	0.12	-	-
روش ICP-OES	ICP-OES	میکرگران	-	0.47	11.54	5.43	-	1.64	9.47	2.76	2.11	0.09	-	-
		انحراف معيار	-	0.13	3.15	1.34	-	0.43	4.76	1.37	0.59	0.01	-	-
		عراف	73.3	-	11	1.6	-	1.1	-	2.1	3.1	-	-	4.1
		خراسان	83.45	0.37	5.37	1.7	0.03	0.69	2.31	1.16	1.41	0.01	-	1.95
		خليج سمرپک ^۱	74	0.47	3.53	0.86	0.04	0.27	11	0.85	1.05	0.03	-	8.35
		خاور مکریک ^۲	71.38	0.35	14.24	1.92	0.01	0.94	4.74	3.52	1.44	0.5	-	99.04
نامهی ^۳		میکرگران ^۴	90.0	0.1	4.7	0.8	-	0.3	0.9	1.1	1.5	0.11	-	99.5
		میکرگران ^۵	88.058	0.083	6.302	0.407	-	-	0.882	1.002	1.849	-	-	0.74
		میکرگران ^۶	48.01	0.56	11.98	5.31	0.9	2.33	15.87	1.85	1.8	0.17	--	11.73

Winspear and Pye (2007) ; Kasper-Zubillaga and Zolezzi-Ruiz (2007) ; Mouttiti (2013) ; Awadh (2012) ; (۱۹۸۷) مکار و مطابق (۱۹۹۶) -

جدول ۳- میانگین، تغییرات، انحراف میانگین فرعی و کمیاب در رسوبات باڈی مقايسه با عیار بورس و مناطق مختلف دنیا (بر حسب گرم درتن).

عنصر	Ag	As	Ba	Cd	Co	Cr	Cs	Cu	Ga	Li	Mo	Ni	Pb	Rb	Sb	Sc	Se	Sn	
کرمان	کپیه	0.13	10.2	297.61	0.08	6.89	35.26	1.1	13.5	9.09	23.46	0.86	15.23	15.79	46.26	0.5	6.68	0.11	1.18
	لیشنیه	0.32	50	594.69	0.32	16.44	74.07	4.5	60.86	18.7	49.5	3.13	46.26	23.06	96.21	1.2	15.04	0.82	3.51
	میانگین	0.22	24.16	454.38	0.18	12.27	50.07	3.63	34.09	15.2	34.3	2.06	27.05	18.42	79.26	0.91	10.26	0.45	1.86
الحراف-میبار	الحراف-میبار	0.06	11.8	86.71	0.08	2	11.65	0.73	9.6	1.92	7.2	0.62	10.26	1.9	10.26	0.18	1.91	0.26	0.59
	خانجیج-مکریک ^۱	-	1.8	245	-	65.1	31	-	12.7	-	-	14	6.1	42.9	0.2	-	-	-	
	خاور-مکریک ^۲	-	-	581.4	-	56	26.8	-	11.4	-	-	19.6	8.8	45.6	-	-	-	-	
تامیسیا ^۳	-	-	248	-	-	31	-	4	-	-	-	6	11	77	-	-	-	-	
	میانگین بوسته ^۴	0.07	-	425	0.2	25	100	3	55	15	20	1.5	75	12.5	90	-	16	0.05	2
	میانگین خاک شهروی ^۵	0.10	24.2	-	0.25	11.08	52.8	-	40.23	-	20.1	3.6	46.7	33.24	-	0.88	-	0.49	2.94
میانگین خاک کشاورزی ^۶	0.21	31.1	-	0.22	12.11	49.67	-	12.11	-	18.2	2.85	49.33	46.9	-	1	-	0.32	2.98	
	Sr	Th	Tl	U	V	W	La	Ce	Dy	Eu	Gd	Nd	Sm	Y	Yb	Zn	Zr		
	کرمان	کپیه	328.41	7.64	0.41	1.24	55.8	0.5	12.7	20.02	2.86	0.69	3.22	15.54	2.4	15.36	2.13	51.63	62.72
تامیسیا ^۷	-	658.88	13.07	0.9	2.98	117.7	0.75	29.8	37.04	3.96	1.17	5.35	23.33	4.14	22.6	2.96	105.7	180.2	
	میانگین	509.86	11.05	0.68	2.2	97.9	0.57	24.2	31.24	3.5	1	4.31	18.89	3.55	18.44	2.48	68.32	134.5	
	الحراف-میبار	69.92	1.2	0.12	0.59	12.6	0.07	4.11	0.31	0.11	0.47	1.65	0.4	1.84	0.2	13.01	23.76		
خانجیج-مکریک ^۱	541	2.5	-	-	10	-	-	-	-	-	-	-	-	-	3.72	-	-		
	خاور-مکریک ^۲	-	-	-	-	43	-	-	-	-	-	-	-	-	28.8	-	-		
	تامیسیا ^۳	-	-	-	-	16	-	30	67	-	-	-	-	-	14	-	-		
میانگین بوسته ^۴	375	10	0.45	2.7	135	1.5	30	60	3	1.2	5.4	28	6	30	3	70	165		
	میانگین خاک شهروی ^۵	-	-	-	-	84.2	0.71	-	-	-	-	-	-	-	150.2	-	-		
	میانگین خاک کشاورزی ^۶	-	-	-	-	102	0.56	-	-	-	-	-	-	-	852.5	-	-		

کتابنگاری

- آقانباتی، ع. -۱۳۸۵- زمین‌شناسی ایران، سازمان زمین‌شناسی و اکتشافات معدنی کشور، ۵۸۶ ص.
- امینی، ا.، میراب شبستری، غ. و سو، م. -۱۳۹۲- جایگاه بررسی‌های ژئوشیمیایی در تحلیل الگوی کانی‌شناسی و نحوه تشکیل تپه‌های ماسه‌ای شرق بابلسر، مقاله‌های همایش‌های ایران، اولین همایش زمین‌شیمی کاربردی ایران، دانشگاه دامغان.
- پور احمد، ا.، ۱۳۷۰- جغرافیا و ساخت شهر کرمان، انتشارات سایه، ۲۶۰ ص.
- حمزه، م.ع.، ۱۳۸۵- نشانگرهای ژئوشیمیایی و زیست محیطی در محدوده شهری کرمان، پایان نامه کارشناسی ارشد، دانشگاه شهید باهنر کرمان، ۳۷۱ ص.
- سازمان برنامه و بودجه استان کرمان، ۱۳۷۴- مطالعات جامع اقتصادی-اجتماعی استان کرمان، پوشاش گیاهی، ۲۲۸ ص.
- سازمان برنامه و بودجه استان کرمان، ۱۳۷۴- مطالعات جامع اقتصادی-اجتماعی استان کرمان، فرسایش خاک و بیابان زدایی، ۳۱۳ ص.
- سازمان نقشه برداری کشور، ۱۳۷۹- نقشه‌های توپوگرافی کرمان، کرمان، ۲، سعادت آباد و اختیار آباد به مقیاس ۱:۵۰۰۰.
- سازمان هواشناسی کشور، ۱۳۸۷- داده‌های دمای هوای اندازه‌گیری شده در ایستگاه هواشناسی شهر کرمان (فروندگاه کرمان) از سال ۱۳۶۹ تا ۱۳۸۶، برگرفته از بخش آمار سازمان هواشناسی کرمان.
- سازمان هواشناسی کشور، ۱۳۹۴- نقشه پهنه‌بندی خشکسالی در سطح کشور بر اساس شاخص SPEI، مرکز ملی خشکسالی و مدیریت بحران کشور.
- سید امامی، ک.، ۱۳۵۱- کرتاسه بالایی در ایران، نقشه دانشگاه فنی دانشگاه تهران، دوره دوم، شماره ۲۲، صص. ۷-۳۴.
- عزیزان، ح.، شهرکی، ع. و سیفوری، س.، ۱۳۷۷- نقشه زمین‌شناسی کرمان به مقیاس ۱:۱۰۰۰۰ (شماره ۷۴۴۹)، سازمان زمین‌شناسی کشور.
- عطایپور، ح.، ۱۳۸۶- تکونی ژئوشیمیایی و متالوژنی سنگ‌های آذربین پتانسیم‌دار در کمرنند آتش‌نشانی- نفوذی دهچ- ساردویه، استان کرمان با نگرشی ویژه به عناصر خاص، پایان نامه دکترای زمین‌شناسی اقتصادی دانشگاه شهید باهنر کرمان، ۴۰۱ ص.
- عطایپور، ح.، حسینی، م. و صرافی، ع.، ۱۳۸۶- گزارش مطالعات سنگ‌شناسی و کانه آرایی مواد اولیه سیمان جهت بررسی علل خوردگی آسیاب‌ها در کارخانه سیمان ممتازان، سازمان زمین‌شناسی و اکتشافات معدنی کشور، مدیریت کرمان، ۲۴ ص.
- عطایپور، ح.، طاهری، م. و رحمانی، ف.، ۱۳۸۹- ژئوشیمی زیست محیطی سنگ، خاک، آب و گیاه در محدوده ورقه ۱:۵۰۰۰۰ کرمان با زمین‌شناسی پژوهشکی، سازمان زمین‌شناسی و اکتشافات معدنی کشور، مدیریت کرمان، ۴۹۶ ص.

References

- Aminzadeh Bazanjani, M. R., Lashkaripour, G. R., Ghafoori, M. and Mhafezi Moghadam, N , 2013- An investigation of mineralogy and microscopic structure in Kerman city sediments, International Journal of Geography and Geology 2(8): 86-101.
- Arbogast, A. F. and Muhs, D. R., 2000- Geochemical and mineralogical evidence from eolian sediments for northwesterly Mid-Holocene paleowinds, central Kansas, USA, Quaternary International 67: 107-118.
- Atapour, H. and Aftabi, A., 2002- Geomorphological, geochemical and geo- environmental aspects of karstification in the urban areas of Kerman city, southeastern Iran. Environmental Geology 42 (7): 783-792.
- Atapour, H., 2015 - Geochemistry of potentially harmful elements in topsoils around Kerman city, southeastern Iran, Environmental Earth Sciences, 74(7): 5605-5624.
- Awadh, S. M., 2012- Geochemistry and mineralogical composition of the airborne particles of sand dunes and dust storms settled in Iraq and their environmental impacts, Environ. Earth Sci. 66: 2247-2256.
- Chapman, M. J., 2001- An economic study of coastal sand dune mining in Michigan, Report of investigation 20, Geological Survey Division, Michigan, 26pp.
- Dimitrijevic, M. D., 1973- Geology of Kerman region, Geological Survey of Iran, 334pp.
- Djokovic, I. D. and Dimitrijevic, M. N., 1972- Geological map of Iran, 1:100000 series ,sheet 7350-Baghin, Geol.Surv.Iran.
- Eslamizadeh, A., Ghanei Bafqi, M. and Samanirad, S., 2010- Geological processes of sand dune development in Sadegh Abad near Bafq, Central Iran and its geotourism attraction, The 1st International Applied Geological Congress, Department of Geology, Islamic Azad University - Mashad Branch, Iran, 26-28.
- Farahi, M., Shahryary, A., Fakhreh, S. and Pahlavanroy, A., 2013 - Investigating the link between genetic characteristics and mineralogy of sand dunes in Tasouki-rigchah (Southeastern Sistan), Annals of Biological Research, 4(5): 51-55.
- Hamzeh , M. A., Aftabi, A. and Mirzaee, M., 2011- Assessing geochemical influence of traffic and other vehicle-related activities on heavy metal contamination in urban soils of Kerman city, using a GIS-based approach, Environmental Geochemistry and Health, 33(6): 577-594.
- Huckriede, R. M., Kursten, M. and Venzalff, H., 1962- Zur geologic des Gebietes Zwischen Kerman und Sagand, (Iran), Bei. Geol. Jahrb. 15, 197pp.
- IAEA, 2004- Soil sampling for environmental contaminants, International atomic energy agency, Austria, 81pp.

- Jahani, D., Karimpourian, M. and Shrafi, N., 2011- Characteristics and genesis of sand dunes around the Garmsar playa, Northern Iran, Proceding of the 12th international conference on enviromental sciences and tecnology, Rhodes, Greece.
- Kasper-Zubillaga, J. J. and Zolezzi-Ruiz, H., 2007- Grain size, mineralogical and geochemical studies of coastal and inland dune sands from El Vizcaíno Desert, Baja California Peninsula, Mexico, Revista Mexicana de Ciencias Geológicas 24(3): 423-438.
- Kasper-Zubillaga, J. J., Armstrong-Altrin, J. S., Carranza-Edwards, A., Morton-Bermea, O. and Santa Cruz, R. L., 2013- Control in beach and dune sands of the Gulf of Mexico and the role of nearby rivers, International Journal of Geosciences 4: 1157-1174.
- Mashhadi, N., Ahmadi, H. , M. R., Ekhtesasi, Feiznia, S. and Feghhi, G., 2007- Analysis of sand dunes to determine wind direction and detect sand source sites (case study: Khartooran Erg, Iran), BIABAN (Desert Journal) 12: 69-75.
- Moufti, A. M. B., 2013- Mineralogy, geochemistry and possible provenance of desert sand dunes from western Rub' al Khali area, southeastern Saudi Arabia, International Journal of Basic and Applied Sciences, 2(4): 399-407.
- Muhs, D. R. and Budahn, J. R., 2006- Geochemical evidence for the origin of late Quaternary loess in central Alaska, Can. J. Earth Sci. 43: 323-337.
- Muhs, R. M. and Benedict, J. B., 2006- Eolian addition to late Quaternary alpine soils, Indian peaks wilderness area, Colorado front Range, Arctic, antrarctic and alpine research 38(1): 120-130.
- Rahdari, M. R., Khosravi, H. and Samani, A. N., 2014- The nature and origin of sand dunes in Kashan ERG, Iran, International Journal of Farming and Allied, Sciences 3(5): 597-602.
- Rahimzadeh, F., 1983- Contribution a la geologie de la formation de Kerman (Paleocene) Iran Central , etude sedimentologique et paleogeographique, These de doctorat de specialite, univ.Grenoble, 149p.
- Rahman-Rad, J., Firuzan, M. and Baraeenejhad, M., 2010- Soil collapsibility of Kerman city, The 1" International Applied Geological Congress, Department of geology, Islamic Azad university, Mashad, Iran, 26-28 April , 560- 565.
- Reyer, D. and Mohafez, S., 1972- A First contribution of the NIOC-ERAP agreements to the knowledge of Iranian geology. Edition Techniqs Paris, 58 pp.
- Ruttner, A. W., Nabavi, M. H. and Hajian, J., 1968- Geology of the Shirgesht area (Tabas area, east Iran).Geological Survey of Iran, Reports 4: 1-133.
- Stocklin, L., Eftekharnejad, J. and Hushmandzadeh, A., 1965- Geology of the Shotori Range (Tabas area, East Iran). Geological Survey of Iran, Report 3: 1-69
- Svendsen, J., Friis, H., Stollhofen, H. and Hartley, N., 2007- Facies discrimination in a mixed fluvio- eolian setting using elemetal whole- rocks geochemistry applications for reservoir characterization, Journal of Sedimentary Research 77: 23-33.
- Winspear, N. R. and Pye, K., 1996- Textural, geochemical and mineralogical evidence for the sources of aeolian sand in central and southwestern Nebraska, U.S.A., Sedimentary Geology 101: 85-98.

Mineralogy and geochemistry of aeolian sediments around Kerman

H. Atapour^{1*}

¹Assistant Professor, Department of Mining Engineering, Faculty of Engineering, Shahid Bahonar University of Kerman, Kerman, Iran

Received: 2016 January 13

Accepted: 2016 June 08

Abstract

The Quaternary aeolian sands occur in northern and southern parts of the urban areas of the Kerman city. The important aeolian and interlayered sedimentary structures are cross- bedding and ripple mark. Diameter of the aeolian sands ranges from 0.06 to 2 mm, but coarse- grained (gravel size) alluvial deposits are interlayered within the aeolian sands. Mineralogy and petrography of the aeolian sands indicate the presence of rock fragments (30 % carbonate, 25 % igneous and 5 % metamorphic rocks), silicate minerals (15 %) and non-silicate minerals (25 %). The Aeolian sands contain calcite (10%), quartz - chert (12%), alkali feldspar- plagioclase (5%), iron-titanium oxides (5%), clinopyroxene (2%), amphibole (1%) and gypsum (5%). Normative minerals include 30% calcite, 15.4% quartz, 12.5% orthoclase, 10% albite, 2.5% anorthite, 2% diopside, 1% enstatite, 4.6% clay minerals, 0.37% apatite, 3% gypsum, 3% hematite, 0.45% brookite and 10% dolomite. Major element composition of 22 aeolian samples analyzed by XRF and ICP-OES methods shows the frequent occurrence of calcium oxide and lower content of silica compared to the aeolian sands of other regions of the world, though the other major oxides are similar to the aeolian sands of Iraq, Saudi Arabia, Mexico and Namibia. Geochemical diagrams of K_2O/Al_2O_3 versus Na_2O/Al_2O_3 and SiO_2/Al_2O_3 versus Fe_2O_3/K_2O and Na_2O/K_2O suggest a combined provenance of the igneous, metamorphic and carbonate sedimentary rocks for the aeolian sands around the urban areas of the Kerman city.

Keywords: Aeolian sands, Mineralogy, Geochemistry, Kerman city.

For Persian Version see pages 197 to 210

*Corresponding author: H. Atapour; E-mail: atapour@uk.ac.ir